

ДОДАТОК А

Графічний матеріал кваліфікаційної роботи

ХАРКІВСЬКИЙ НАЦІОНАЛЬНИЙ УНІВЕРСИТЕТ РАДІОЕЛЕКТРОНИКИ



КВАЛІФІКАЦІЙНА РОБОТА

МЕТОД ВИЯВЛЕННЯ АНОМАЛІЙ У МОБІЛЬНІЙ МЕРЕЖІ ПЕРЕДАЧІ ДАНИХ

ВИКОНАВ:
Студент гр СПм-23-4 Коротецький О. О.

КЕРІВНИК:
доц. Мартовицький В. О.

ХАРКІВ
2025р.

Актуальність дослідження

Розробка методу виявлення аномалій у мобільних мережах обумовлена:

експоненційним зростанням трафіку (5G/6G, IoT)

зростанням кіберзагроз (DDoS, спуфінг)

неефективністю традиційних методів

потребою в адаптивних AI-рішеннях для реального часу

Ключові проблеми:

- ✓ Загроза стабільності мережі
- ✓ Погіршення QoS/QoE
- ✓ Вразливість даних абонентів



70%

Зростання мобільного трафіку (2020-2024)



48%

Збільшення кібератак на мобільні мережі



65%

Традиційні методи виявляють лише 65% аномалій

Мета та завдання

Мета дослідження:

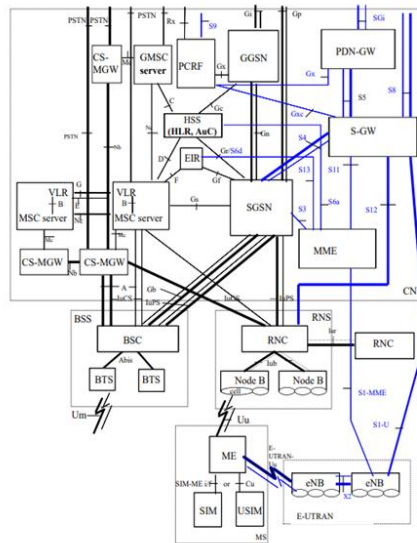
Розробити та дослідити ефективний метод виявлення аномалій у мобільній мережі передачі даних, що дозволяє підвищити рівень безпеки та надійності функціонування мережі.

Завдання дослідження:

1. Проаналізувати сучасні загрози та типи аномалій у мобільних мережах передачі даних.
2. Оцінити існуючі методи виявлення аномалій та визначити їх обмеження.
3. Розробити новий або вдосконалити існуючий метод виявлення аномалій з урахуванням специфіки мобільного трафіку.
4. Реалізувати прототип методу та провести його моделювання на тестових даних.
5. Проаналізувати результати: точність, повноту виявлення та продуктивність розробленого підходу.

3

Базова конфігурація мережі доступу 3GPP PLMN



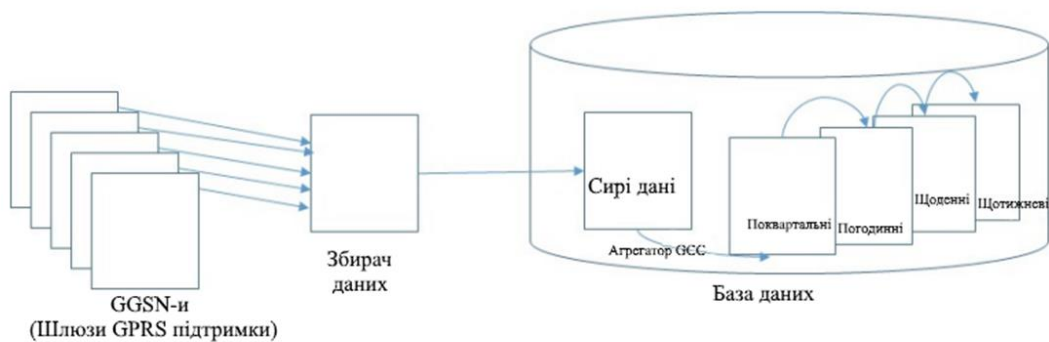
4

Функції SGW згідно

- локальна точка прив'язки мобільності для міжвузлового хендлінгу;
- точка прив'язки мобільності для мобільності між 3gpp;
- буферизація низхідних пакетів у режимі есм-idle та ініціювання мережевих стр;
- законне перехоплення;
- маршрутизація та переадресація пакетів;
- маркування пакетів на транспортному рівні у висхідній та низхідній лініях;
- облік з деталізацією по користувачам і qci для міжоператорської тарифікації;
- звітування про події (зміна gat тощо) до pcrf;
- прив'язка носія висхідної та низхідної лінії до доступу 3gpp;
- перевірка прив'язки висхідної лінії зв'язку з відкиданням пакетів "неадекватного ul-трафіку";
- шлюз мобільного доступу (mag) функціонує, якщо використовується s5 або s8 на базі pmip;
- підтримка необхідних функцій для забезпечення роботи ланцюжка gtp/pmip.

5

Потік даних від генерації через GCC. Від агрегації до зберігання



6

Підрахунок даних "статистика" та "ключова змінна"

Схема	Таблиці	Підсхеми	Ключові змінні	Статистика
APN	4	4	3	309
APNQCI	1	1	2	16
CARD	3	3	2	136
DCCA	2	2	4	26
DCCASCH	1	3	3	123
DIAUSCH	1	1	7	44
DISCH	1	1	1	53
DPCA	1	1	4	41

Опис даних зі схеми SGW

SGW_ID	VPN_ID	VPN_NAME	SERV_ID	SERV_NAME
CSGNMT01	6	SGW	8	SGW_SVC
GGCF01	4	SGW	9	SGW_SVC
GGCF02	5	SGW	9	SGW_SVC
GGCT01	14	SGW	9	SGW_SVC
GGCT03	7	SGW	9	SGW_SVC
GGCT04	3	SGW	9	SGW_SVC
GGDM01	4	SGW	9	SGW_SVC
GGDM02	3	SGW	9	SGW_SVC
GGDN01	5	SGW	9	SGW_SVC
GGDN02	9	SGW	9	SGW_SVC
GGDN03	3	SGW	9	SGW_SVC
GGJF01	4	SGW	9	SGW_SVC
GGMT01	20	SGW	11	SGW_SVC
GGMT03	7	SGW	9	SGW_SVC
GGMT04	7	SGW	9	SGW_SVC

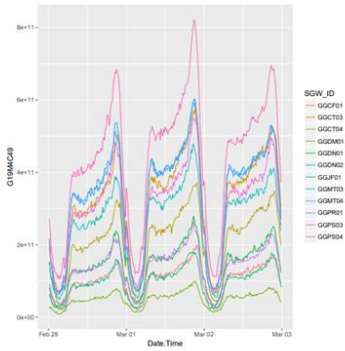


Рисунок 1 – Байти в нисхідному каналі на інтерфейсі S1U-SGW

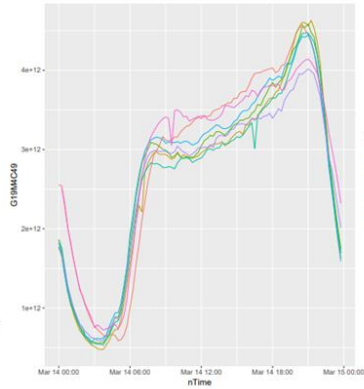


Рисунок 2 – Порівняння двіх тижнів

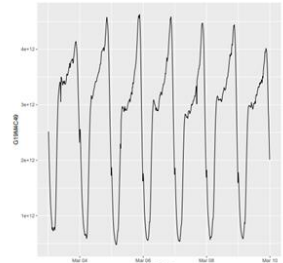
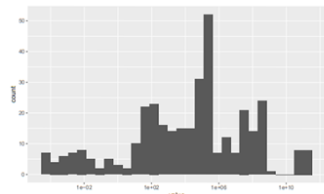
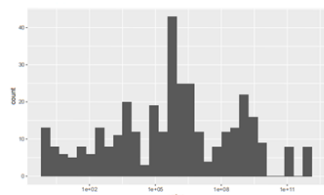


Рисунок 3 – Загальний обсяг байт S1U- за 7 днів

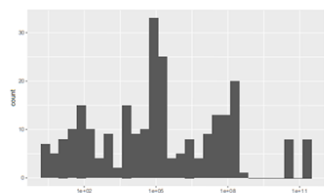
9



а) Гістограма середніх значень змінних SGW

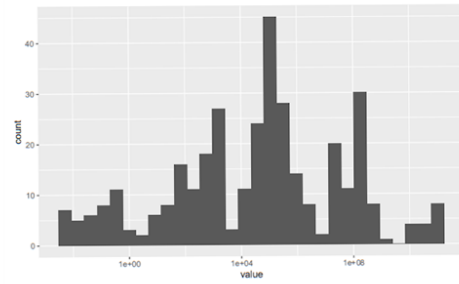


б) Гістограма максимальних значень змінних SGW

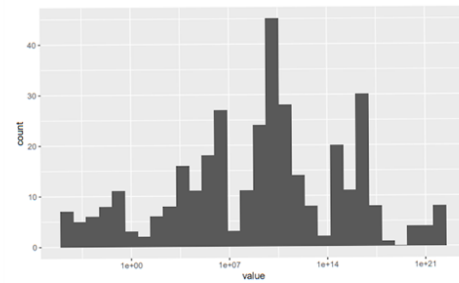


в) Гістограма медіанних значень змінних SGW

Рисунок 3 – Узагальнення даних SGW



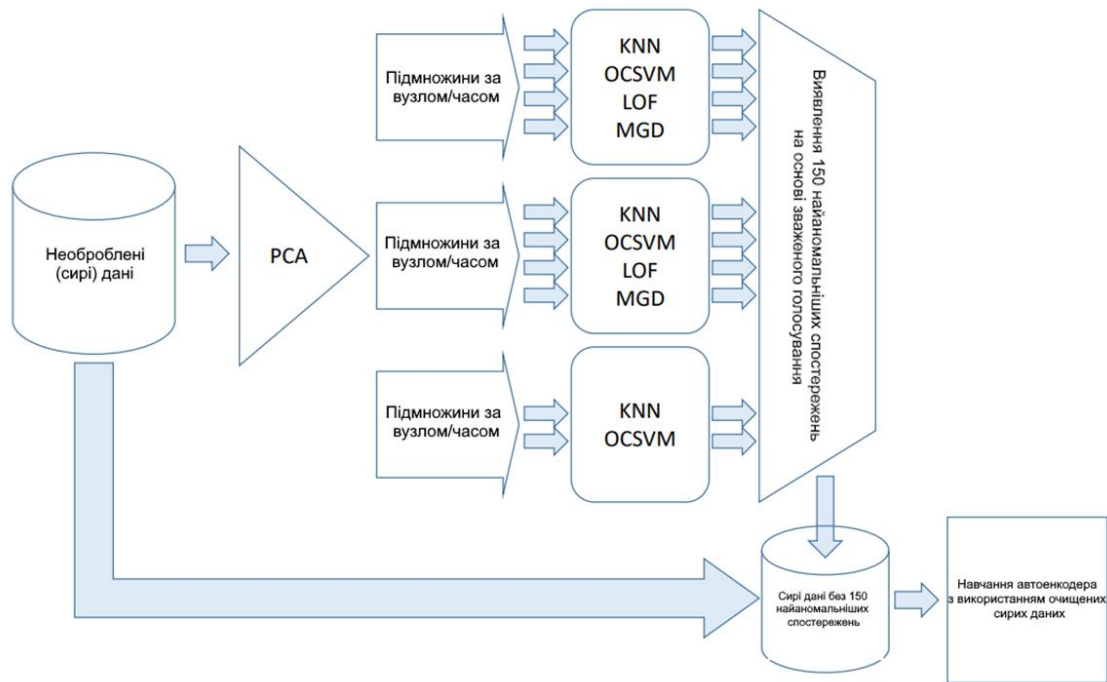
а) Гістограма стандартних відхилень змінних SGW



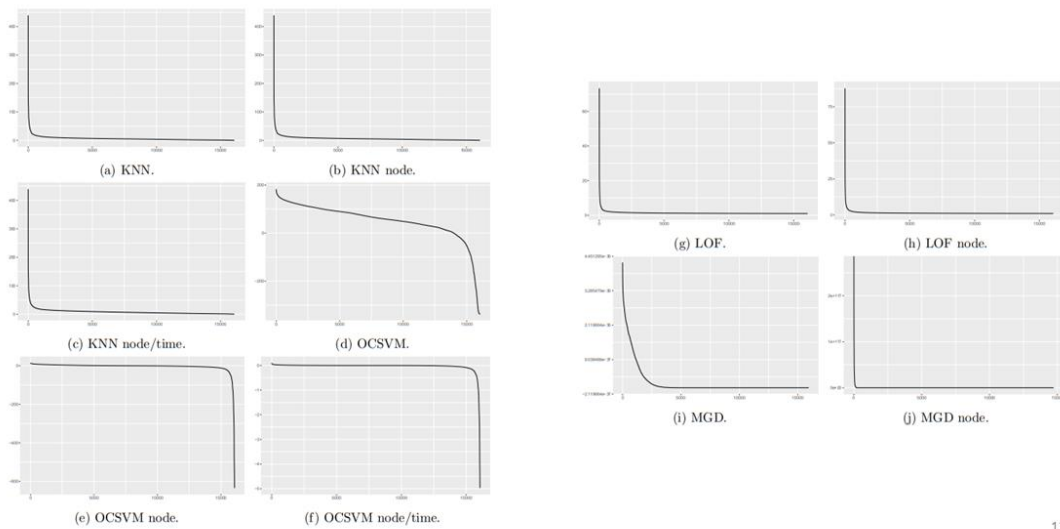
б) Гістограма дисперсій змінних SGW

Рисунок 4 – Узагальнення даних по SGW

10



Впорядковані значення факторів аномальності за кожним підходом



Кількість спостережень із топ-150 кожного методу, які увійшли до остаточного списку аномалій

Метод	Відсоток у фінальній вибірці
KNN.Weight50	0,847
KNN.Node.Weight50	0,86
KNN.Node.Time.Weight8	0,8
OCSVM.v=0.13, $\gamma=0.002$	0,818
OCSVM.Node.v=0.5, $\gamma=1e-04$	0,8
OCSVM.Node.Time.v=0.5, $\gamma=1e-04$	0,8
LOF.K100	0,687
LOF.Node.K100	0,647
MGD.Node	0,507
MGD	0,987

13

Навчання напівкерованого автоенкодера

Розподіл даних:

- Тренувальний набір: **80%**
- Валідаційний набір: **10%**
- Тестовий набір: **10%**

Результати навчання:

- MSE після 1 епохи: 0,001
- MSE після 4,8 епохи: 0,0008 (тренувальний та валідаційний набори)

Аналіз важливості змінних:

- 665 змінних незначущі (в основному — лише нулі)
- 493 змінні мали невеликий, але внесок:
 - Найважливіша змінна: **Time.4:30** – 0,2393%
 - Найменш важлива: **G19M4C8** – 0,1749%

•**Загальний висновок:** усі змінні певною мірою впливають на модель

Додатково:

- Найменш важливі групи:** лічильники
- Найважливіша група:** змінні, пов'язані з часом доби

14

Висновки

В кваліфікаційній роботі було представлено підхід для виявлення аномалій у високовимірних даних SGW у мобільному мережевому середовищі. Цей підхід доповнює існуючу модельну методичку, яка виявляє деградації у заздалегідь визначених ключових показниках ефективності (KPI). Підхід виявлення аномалій заповнює «сліпу пляму», що залишилась у поточній методичці, охоплюючи всі лічильники. Було продемонстровано здатність цього підходу виявляти аномалії, що впливають на багатьох абонентів і лічильників.

Аномалії, виділені цим підходом, лише вказують на зміни від цієї базової лінії. Зміни можуть відображати як погіршення, так і покращення роботи мережі. Для визначення цього та з'ясування деталей змін потрібне подальше дослідження мобільної мережі. На жаль, чорний ящик кінцевого автоенкодера не надає користувачу допомоги у таких дослідженнях.

Апробація результатів: МАРТОВИЦЬКИЙ, В., СВИРИДОВ, А., АВДЄЄВ, О., ГУДЗИНСЬКИЙ, І., & КОРОТЕЦЬКИЙ, О. ДОСЛІДЖЕННЯ МЕТОДІВ ВІЯВЛЕННЯ АНОМАЛІЙ У АРІ ЖУРНАЛАХ. Вісник Херсонського національного технічного університету, 2(1 (92)), С. 142-148.